

利用冗余度性质产生多重针孔象

高文琦 叶权书

(南京大学物理系)

提要: 根据信息论中增加冗余度可以提高信噪比的概念, 本文提出一种制作多重针孔像全息图的新方法, 它可以避免制作蝇眼透镜实物的困难; 同时计算及绘制计算全息图的工作量不需很大。

Production of fly's-eye holograms by using redundancy

Gao Wenqi Ye Quanshu

(Department of Physics, Nanjing University)

Abstract: According to the information theory, the ratio of signal and noise can be improved by increasing redundancy. This paper gives a new method of producing fly's-eye holograms, which needs no real fly's-eye lens, and the labour of computing and plotting hologram can be spared too.

一、引言

当一函数 $f(x, y)$ 与一 δ 函数阵列卷积时, 将获得该函数的阵列重复图象:

$$f(x, y) * \sum_{i,j} \delta(x-i\Delta x, y-j\Delta y) \\ = \sum_{i,j} f(x-i\Delta x, y-j\Delta y) \quad (1)$$

此结果称为阵列定理(Array Theorem)^[1]。应用阵列定理以获得多重象, 始终是全息技术应用中引人入胜的课题^[2~5]。此中关键是作出一能再现高质量多重针孔像(δ 函数阵列)的全息图。用一般光全息方法, 需先制作蝇眼透镜实物, 然后拍此蝇眼透镜焦点阵的全息图。当多重像所需数字甚大(例如 $10 \times$

$10=100$) 时, 制作蝇眼透镜需要把 100 个小透镜整齐排列, 并使它们焦点位于同一平面上, 避免产生盲点, 这在工艺上是件非常困难的工作。

利用计算全息的方法制作此种全息图, 勿需蝇眼透镜实物, 这是计算全息方法一大优点。但是当蝇眼透镜数甚大(例如 $10 \times 10=100$), 质量要求较高(例如要求亮点间距离为亮点本身大小的十倍)时, 取样点数必须相当大(将为 $10^2 \times 10^2=10^4$), 这样多取样点的计算全息图的计算及绘制也不是件易事。

本文提出一种新的方案, 可以减轻以上困难。其根据是信息论中增加冗余度可以提

收稿日期: 1983年5月31日。

高信噪比的概念。它的要点是,先制作一能再现均匀方形亮斑的计算全息图,取样点数不多(16×16或32×32),计算及绘制工作量均不大,然后用重复步进照相机将全息图有规则地延拓,就能得到能再现高质量多重针孔象的图(针孔数11×11=121)。这里延拓实质上就是增加冗余度,按一定规律延拓就可以达到压低背景噪音,突出多重针孔亮度(提高信噪比)的目的。

二、原理

1. 频谱的计算方法

均匀方形亮斑及其频谱为二维矩函数及 sinc 函数,以下为了简单起见,只讨论一维情况。

$$\text{rect}\left(\frac{x}{D}\right) \supset D \text{sinc}(\pi D\xi) \quad (2)$$

式中 \supset 表示傅氏变换, x, ξ 号分别为物及频谱的自变量, D 为矩函数的宽度。在计算全息中物及频谱均取离散值,以 $\delta x, \delta \xi, \Delta x, \Delta \xi$ 分别表示物、频谱的取样点距和取值范围; N 为取样点总数 $\Delta x = N\delta x, \Delta \xi = N\delta \xi$; L 为对应于矩函数宽度 D 的取样点数, $D = L\delta x$; k, p 为取样点序数 $x = k\delta x, \xi = p\delta \xi$; 依据 D. F. T. 特性,我们有以下关系式:

$$\delta x = \frac{\Delta x}{N} = \frac{1}{\Delta \xi} \quad \delta \xi = \frac{\Delta \xi}{N} = \frac{1}{\Delta x} \quad \delta x \cdot \delta \xi = \frac{1}{N} \quad (3)$$

(2)式可以写作

$$\text{rect}\left(\frac{k}{L}\right) \supset \frac{N\delta x}{p\pi} \sin\left(\pi \frac{L}{N} p\right) \\ k, p = -\frac{N}{2}, -\frac{N}{2}+1, \dots, 0, 1, \dots, \frac{N}{2}-1 \quad (4)$$

以下计算频谱均用(4)式。不用通用的 F. F. T. 方法而用本法是为了避免 Aliasing 误差^[6]。频谱延拓的方法有两种:大延拓及小延拓,分别介绍于下。

2. 大延拓

以 $A(\xi)$ 表示物函数 $a(x)$ 的频谱,为了

简单起见,不考虑频谱与计算全息图的区别(计算全息图为频谱的模拟),可认为 $A(\xi)$ 即计算全息图。所谓大延拓即将整个全息图向右延拓 $T-1$ 次,简称为一翻 T (如为二维则为一翻 $T \times T$),所得图形为 $A_T(\xi)$,

$$A_T(\xi) = A(\xi) * \sum_{i=0}^{T-1} \delta(\xi - i\Delta\xi) \\ = \sum_{i=0}^{T-1} A(\xi - i\Delta\xi) \quad (5)$$

式中 $\Delta\xi$ 为延拓前计算全息图的宽度(即计算得的频谱带宽),延拓后宽度增大 T 倍,整个全息图面积增大 T^2 倍。大延拓后对再现象 $a_T(x)$ 的影响可分析如下:

$$A_T(\xi) \subset a_T(x) \\ = a(x) \sum_{i=0}^{T-1} e^{-j2\pi i \Delta \xi x} \\ = a(x) \sum_{i=0}^{T-1} e^{-j2\pi i x / \delta x} \\ = a(x) \frac{1 - e^{-j2\pi T x / \delta x}}{1 - e^{-j2\pi x / \delta x}} \\ = \begin{cases} T a(x) & \text{当 } x = 0, \pm \delta x, \pm 2\delta x, \dots \\ 0 & \text{当 } x = \pm \frac{\delta x}{T}, \\ & \pm 2 \frac{\delta x}{T}, \dots \end{cases} \quad (6)$$

大延拓使再现象附加一调制因子,它让再现象中原取样点振幅加大 T 倍,强度加强 T^2 倍,在相邻两加强点之间则插入 $T-1$ 个零。因此当 T 甚大时,此作用有如光栅,使原来均匀亮斑内出现整齐排列的亮点点阵,这就是我们所需要的多重针孔再现象。多重针孔象的范围即原均匀方形亮斑的范围,它不受大延拓次数的影响。针孔数(亮点数)等于原亮斑内取样点数,也与大延拓次数无关。

实际上计算全息图由离散点组成,离散点距为 $\delta \xi$,所以再现象以 $\Delta x = \frac{1}{\delta \xi}$ 为周期向左右延拓。

3. 小延拓

大延拓是整个全息图的延拓(宏观延

拓), 小延拓则是全息图各离散值就近延拓(微观延拓), 可用图1说明。图1(b)中 $A_s(\xi)$ 是全息图 $A(\xi)$ 原有的离散值:

$$\begin{aligned} A_s(\xi) &= \sum_{i=-N/2}^{N/2-1} A(i\delta\xi) \delta(\xi - i\delta\xi) \\ &= A(\xi) \sum_{i=-N/2}^{N/2-1} \delta(\xi - i\delta\xi) \\ &= \text{rect}\left(\frac{\xi}{N\delta\xi}\right) A(\xi) \\ &\quad \times \sum_{i=-\infty}^{\infty} \delta(\xi - i\delta\xi) \end{aligned} \quad (7)$$

$a_s(x)$ 为其再现象:

$$\begin{aligned} A_s(\xi) \subset a_s(x) &= N\delta\xi \text{sinc}(\pi N\delta\xi x) \\ &\quad * a(x) * \left[\frac{1}{\delta\xi} \right. \\ &\quad \left. \times \sum_{i=-\infty}^{\infty} \delta\left(x - \frac{i}{\delta\xi}\right) \right] \end{aligned} \quad (8)$$

当 N 甚大时:

$$N\text{sinc}(\pi N\delta\xi x) \rightarrow \frac{1}{\delta\xi} \delta(x) = \Delta x \delta(x)$$

故得:

$$\begin{aligned} A_s(\xi) \subset a_s(x) &= a(x) * \Delta x \sum_{i=-\infty}^{\infty} \delta(x - i\Delta x) \\ &= \Delta x \sum_{i=-\infty}^{\infty} a(x - i\Delta x) \end{aligned} \quad (9)$$

以下为了小延拓, 必须先将原有的离散点拉开。假定拉宽 M 倍, 全息图由 $A(\xi)$ 变为 $A\left(\frac{\xi}{M}\right)$, 再现象由 $a(x)$ 变为 $Ma_s(Mx)$, 如图

1(c)。再取离散值, 离散点距 $M\delta\xi$, 全息图变为 $A_s\left(\frac{\xi}{M}\right)$:

$$\begin{aligned} A_s\left(\frac{\xi}{M}\right) &= A\left(\frac{\xi}{M}\right) \sum_{i=-N/2}^{N/2-1} \delta(\xi - iM\delta\xi) \\ &= \sum_{i=-N/2}^{N/2-1} A(i\delta\xi) \delta(\xi - iM\delta\xi) \end{aligned} \quad (10)$$

相应地它的再现象变为 $Ma_s(Mx)$:

$$Ma_s(Mx) = M\Delta x \sum_{i=-\infty}^{\infty} a(Mx - i\Delta x) \quad (11)$$

它们的图象如图1(d)。注意全息图宽度展宽 M 倍, 面积增大 M^2 倍, 再现象位置不变, 宽度由 Δx 缩为 $\frac{\Delta x}{M}$, 振幅由 Δx 增为 $M\Delta x$ 。

全息图宽度展宽 M 倍后, 离散点距也拉大 M 倍, 将各离散值依次就近向右延拓 $M-1$ 次, 以填补拉开的距离, 所得图形为 $A_{SM}(\xi)$ 。

$$\begin{aligned} A_{SM}(\xi) &= A_s\left(\frac{\xi}{M}\right) * \sum_{m=0}^{M-1} \delta(\xi - m\delta\xi) \\ &= \sum_{m=0}^{M-1} A_s\left(\frac{\xi - m\delta\xi}{M}\right) \end{aligned} \quad (12)$$

它的再现象为 $a_{SM}(x)$ 。

$$\begin{aligned} A_{SM}(\xi) \subset a_{SM}(x) &= Ma_s(Mx) \sum_{m=0}^{M-1} e^{-j2\pi m\delta\xi x} \\ &= Ma_s(Mx) \sum_{m=0}^{M-1} e^{-j2\pi mx/\Delta x} \\ &= Ma_s(Mx) \frac{1 - e^{-j2\pi Mx/\Delta x}}{1 - e^{-j2\pi x/\Delta x}} \end{aligned}$$

$$= \begin{cases} M^2 a_s(Mx) = M^2 \Delta x \sum_{i=-\infty}^{\infty} a(Mx - i\Delta x) & \text{当 } x = 0, \pm\Delta x, \pm 2\Delta x, \dots \\ 0 & \text{当 } x = \pm \frac{\Delta x}{M}, \pm \frac{2\Delta x}{M}, \dots \end{cases} \quad (13)$$

图1(e)右边是再现象 $a_{SM}(x)$ 的振幅 $|a_{SM}(x)|$, 与图1(d)相比可见小延拓使 $Ma_s(Mx)$ 再受一附加因子调制, 它使 $x = 0, \pm\Delta x, \pm 2\Delta x, \dots$ 处再现象振幅再增强 M 倍(连前共增强 M^2 倍, 强度增强 M^4 倍), 而在

$$x = \pm \frac{\Delta x}{M}, \pm \frac{2\Delta x}{M}, \dots$$

处插零, 将这附近的象压低。正是由于这种有选择地增强, 才能在全息图面积增大 M^2 倍的条件下, 使所需要地方的再现象强度增强 M^4 倍, 从而显著提高信噪比。

以上是全息图面积随小延拓而增大 M^2 倍时的情况。如果小延拓后让全息图面积再缩小 $\frac{1}{M^2}$ 倍, 使与未延拓前相等, 经过计算可以发现, 由于小延拓有选择的加强作用, 所需地方的再现象强度仍可比未延拓前增强 M^2 倍, 而离零级的相对距离增大 M 倍, 减低

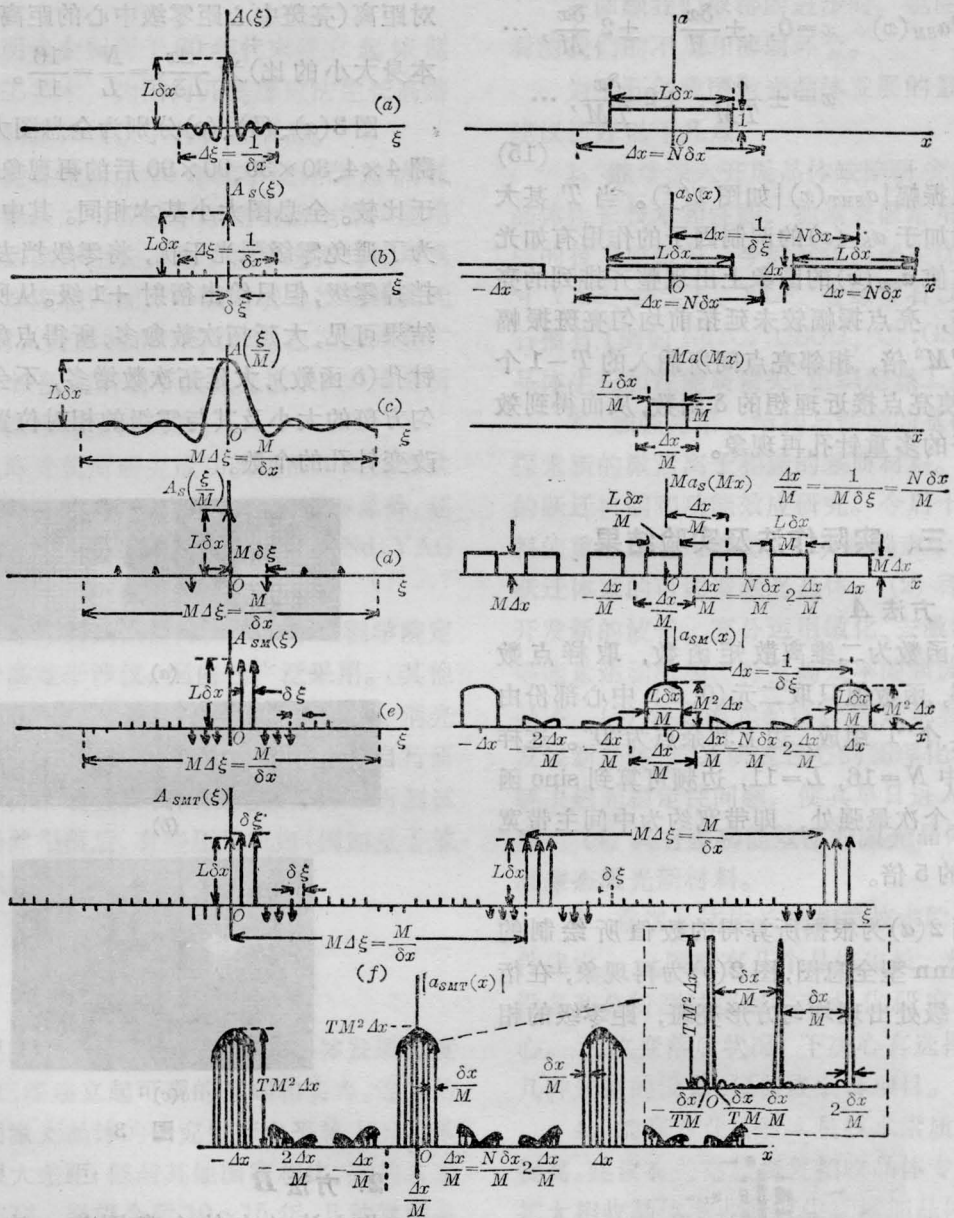


图 1

零级强光的干扰，同样能显著提高再现象的信噪比。

只进行小延拓不能产生多重针孔再现象，还必须大延拓。设小延拓后再大延拓 $T-1$ 次，全息图由 $A_{SM}(\xi)$ 变为 $A_{SMT}(\xi)$ 。

$$A_{SMT}(\xi) = A_{SM}(\xi) * \sum_{t=0}^{T-1} \delta(\xi - tM\Delta\xi) \quad (14)$$

类似地，再现象 $a_{SMT}(x)$ 可写为

$$\begin{aligned} A_{SMT}(\xi) &\subset a_{SMT}(x) \\ &= a_{SM}(x) \sum_{t=0}^{T-1} e^{-j2\pi tM\Delta\xi x} \\ &= a_{SM}(x) \sum_{t=0}^{T-1} e^{-j2\pi tMx/\Delta x} \\ &= a_{SM}(x) \frac{1 - e^{-j2\pi TMx/\Delta x}}{1 - e^{-j2\pi Mx/\Delta x}} \end{aligned}$$

$$= \begin{cases} T a_{SM}(x) & x=0, \pm \frac{\delta x}{M}, \pm 2 \frac{\delta x}{M}, \dots \\ 0 & x = \pm \frac{\delta x}{TM}, \pm 2 \frac{\delta x}{TM}, \dots \end{cases} \quad (15)$$

再现象振幅 $|a_{SM}(x)|$ 如图 1(f)。当 T 甚大时, 附加于 $a_{SM}(x)$ 的调制因子的作用有如光栅。它使 $a_{SM}(x)$ 的图象上出现整齐排列的亮点点阵, 亮点振幅较未延拓前均匀亮斑振幅增强 TM^2 倍, 相邻亮点间所插入的 $T-1$ 个零, 将使亮点接近理想的 δ 函数, 从而得到效果良好的多重针孔再现象。

三、实际作法及实验结果

1. 方法 A

物函数为二维离散矩函数, 取样点数 16×16 , 函数值只取二元(0, 1), 中心部份由 11×11 个“1”组成, 边上其余点为“0”。这样(4)式中 $N=16, L=11$, 边频可算到 sinc 函数第二个次最强处, 即带宽约为中间主带宽 $(\frac{2}{D})$ 的 5 倍。

图 2(a)为根据所算得的数值所绘制的 Lohmann 型全息图, 图 2(b)为再现象, 在衍射 ± 1 级处出现均匀方形亮斑, 距零级的相

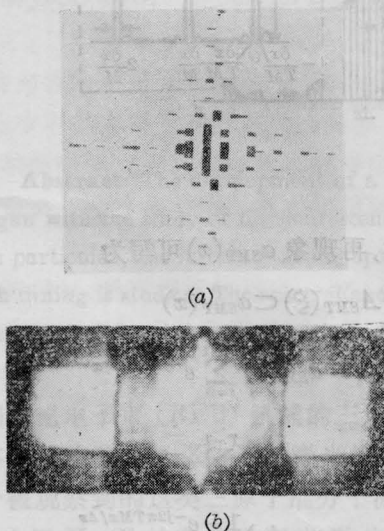


图 2

对距离(亮斑中心距零级中心的距离与亮斑本身大小的比)为 $\frac{\Delta x}{L\delta x} = \frac{N}{L} = \frac{16}{11}$ 。

图 3(a)、(b)、(c)分别为全息图大延拓一翻 4×4 、 30×30 、 90×90 后的再现象, 为了便于比较。全息图大小基本相同。其中(a)、(b)为了避免零级强光干扰, 将零级挡去, (c)未挡掉零级, 但只给出衍射 +1 级。从所得实验结果可见, 大延拓次数愈多, 所得点象愈接近针孔(δ 函数), 大延拓次数增多, 不会改变均匀方斑的大小及其与零级的相对位置, 也不改变针孔的个数。

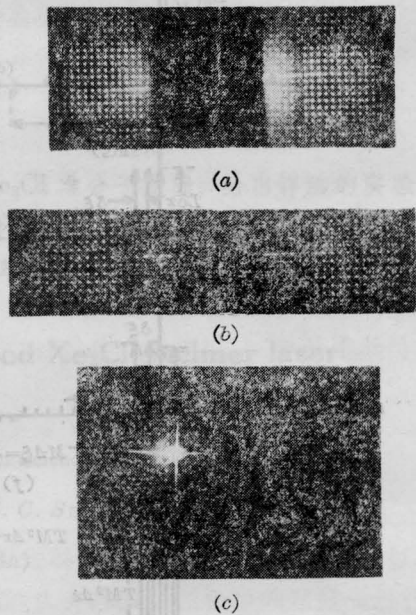


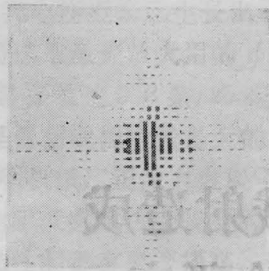
图 3

2. 方法 B

将方法 A 中的全息图作一次小延拓 ($M=2$)。图 4(a)为小延拓后的全息图, 图 4(b)为再现象, 在衍射 +1 级处出现均匀方形亮斑, 距零级的相对距离(亮斑中心距零级中心的距离与亮斑本身大小的比)为

$$\frac{\Delta x}{L\delta x} = \frac{MN}{L} = \frac{2 \times 16}{11},$$

为 A 法的两倍, 远离零级的干扰, 是本法优点。图 5 为小延拓后再大延拓一翻 90×90 后的再现象, 大延拓后出现针孔, 针孔个数仍



(a)



(b)

图 4

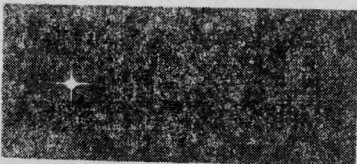
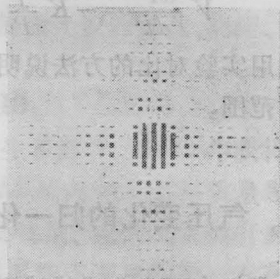


图 5

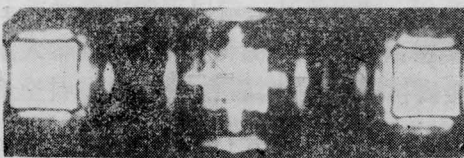
为 11×11 。

3. 方法 C

将 A 法中的物函数取样点数增大到 32×32 , 中心部份仍由 11×11 个“1”组成, 其余点为“0”。这样(4)式中 $N=32$, $L=11$, 边频仍然可算到 sinc 函数第二个次最强处, 即



(a)



(b)

图 6

带宽与 A 法相同。但是由于取样点增多, 所算得频谱的精细程度增高, 计算及绘制全息图的工作量均相应增大。图 6(a) 为 Lohmann 型全息图, 图 6(b) 为再现现象。均匀方斑距零级的相对距离为

$$\frac{\Delta x}{L\delta x} = \frac{N}{L} = \frac{32}{11},$$

与 B 法同, 为 A 法的二倍, 远离零级的干扰。由于取样点增多, 均匀方斑的象质亦较 A 法显著改善。图 7 为全息图大延拓一翻 90×90 后的再现现象。大延拓后出现针孔, 针孔个数仍为 11×11 。



图 7

四、小 结

计算全息再现现象的质量随取样点数增多而改善。但取样点数增多, 计算频谱及绘制全息图的时间也随之增多, 工作量或成本随之加大。延拓是一种简单的增多取样点数的方法, 它可以大大增多取样点数, 从而提高再现现象象质, 但增加的工作量却有限, 因而是一种值得注意的方法^[7]。

就制作多重针孔全息图而言, 从以上理论分析及实验结果均可见, 大延拓和小延拓均能显著提高再现现象的信噪比。B 法的取样点数 (16×16) 比 C 法 (32×32) 少, 但 B 法的延拓方法 (兼有大、小延拓) 比 C 法 (只有大延拓) 复杂, 再现现象质基本上可与 C 法相比。

延拓在信息论看来即增加冗余度, 增加冗余度所付的代价有限, 却能显著提高信噪比。在原来物函数的编码中 11×11 个“1”即所需针孔, 也就是我们所需要的有用信息。频谱方面的大延拓和小延拓的实质, 即在物方 11×11 个“1”的当中和两边不断地插

(下转第 502 页)

表 1

P_0 (托)	气压变化量 ΔP (托)	气体清除率之比	P_0 四次方之比
3.0	0.12	1:3.7	3.5
2.2	0.45		

入 He、Ne 气体, 电流密度达 3.3 毫安/厘米²。溅射气体清除异常明显, 清除速率与初始气压值关系异常密切, 20 分钟内的平均气体清除速率如表 1 所示。

由表 1 可知, 在反常辉光放电条件下, 公式(8)中的 n 值在 4~5 之间。

四、讨 论

(1) 正常辉光和反常辉光放电下的气体清除规律是不相同的。不同的原因在于阴极位降随电流和气压的变化规律不同。图 5 表示二种情况下的伏安特性曲线。由图可知反常辉光放电区阴极位降增大很多, 且随电流和气压的改变而激烈变化。而铝阴极的位降变化很平缓。

(2) 在文献[4]中曾报道了合金铝阴极氩-氟激光管中气压变化规律遵循下述的规

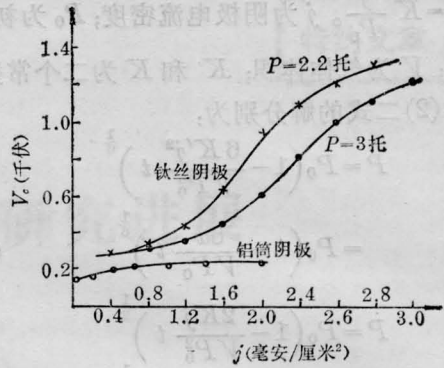


图 5 钛阴极放电管的伏安特性

律:

$$\frac{P}{P_0} = \left(1 - \frac{t}{18000}\right)^{\frac{1}{2.5}}$$

把上式与公式(8)相对照, 可知在他们的实验条件下 n 值为 1.5, 说明二者的实验结果基本一致。

参 考 文 献

- [1] 赫光生, 雷仕湛;《激光器设计基础》, 上海科学技术出版社(1979)。
- [2] 刘志国;《应用激光联刊》, 1982, 2, No.1, 50~52。
- [3] 刘志国;《激光》, 1981, 8, No.3, 53~54。
- [4] U. Hochuli et al., *IEEE J. Quant. Electr.*, 1967, QE-3, No.11, 612~614。



(上接第 499 页)

零, 而在 11×11 个“1”的所在则不断地补“1”。插零的目的在于压低噪音, 补“1”的目的在于提高信息, 因而延拓能达到提高信噪比的目的。

本文实验工作曾得到我系李德宽、石明同志帮助, 特此致谢。

参 考 文 献

- [1] G. B. Parrent, B. J. Thompson; *Physical Optical*

Notebook Published by The S. P. I. E., 1969.

- [2] G. Groh; *Appl. Opt.*, 1969, 8, 967.
- [3] H. W. Hemstveet et al.; *JOSA*, 1969, 59, 1544A.
- [4] H. Damann, K. Görtler; *Opt. Commun.*, 1971, 3, 312.
- [5] A. Kalestynski; *Appl. Opt.*, 1975, 14, 2343.
- [6] 高文琦, 叶权书;《激光》, 1978, 5, No. 5~6, 39.
- [7] 高文琦, 叶权书;《南京大学学报》(物理学专刊), 1980, p. 57.